

УДК.551.7(571.6)

**РАЗРАБОТКА СТРАТИГРАФИЧЕСКОЙ ОСНОВЫ ДЛЯ ПРОВЕДЕНИЯ
ГЕОЛОГИЧЕСКОЙ СЪЕМКИ МАСШТАБА 1:200 000 ШЕЛЬФОВЫХ ОБЛАСТЕЙ
ДАЛЬНЕВОСТОЧНЫХ МОРЕЙ РОССИИ**

Л.Б. Хершберг, А.А. Рязанцев, Е.В. Михайлик, О.В. Чудаев

Дальневосточный геологический институт ДВО РАН, пр-т 100 лет Владивостоку 159,
г. Владивосток, 690022, e-mail: fegi@online.marine.su

Поступила в редакцию 14 августа 2007 г.

Впервые в шельфовых областях дальневосточных морей Тихоокеанской морской геологоразведочной экспедицией Приморского территориального геологического управления закартировано 7 районов (4 – в Японском море, 3 – в Охотском море). По этим районам накоплен обширный фактический материал, позволивший составить сводные разрезы геологического строения осадочного чехла, а также рабочие стратиграфические схемы четвертичных отложений. В основу картирования шельфовых областей положен литостратиграфический принцип расчленения разрезов четвертичных отложений, позволяющий выделять в составе осадочного чехла литологически обособленные толщи, соответствующие определенным этапам трансгрессивно-ретрессивной деятельности моря и этапам россыпнеобразования.

Ключевые слова: геологическая съемка, шельф, четвертичные отложения, Японское море, Охотское море.

ВВЕДЕНИЕ

Стратиграфическое расчленение рыхлых отложений и выделение в их строении слоев, толщ с индивидуальными признаками является важной задачей геологической съемки шельфа дальневосточных морей, сложенного верхнеплиоцен-четвертичными осадками.

Специализированные стратиграфические исследования прибрежной зоны Японского моря были начаты в 1973 г. Тихоокеанской морской экспедицией Приморского территориального геологического управления (ТМЭ ПТГУ) в связи с началом опытно-методической геологической съемки шельфа масштаба 1:200 000 [24].

На начальном этапе опытно-производственной геологической съемки м-ба 1:200 000 на шельфе (ГСШ-200) Приморья получение информации осуществлялось, главным образом, сотрудниками Шельфовой партии ТМЭ ПТГУ под руководством А.А. Рязанцева [15, 16]. Материалы этого этапа изучения геологии и металлогении шельфа опубликованы в [3, 9]. Анализ полученных данных, а также последующие работы [17, 19], в том числе и в Охотском море [18], позволили составить инструкцию по методике

производства и камеральной обработке ГСШ-200 на шельфе дальневосточных морей, в которую вошли и данные поисковых работ [21, 22, 24]. Данная инструкция была утверждена в 1985 г. во Всероссийском геологическом институте им. А.П. Карпинского (ВСЕГЕИ). С учетом того, что съемка проводилась на севере и поисковые работы сосредоточивались в Охотском и Беринговом морях, была проведена методическая работа по обобщению материалов съемок в Сахалинском заливе [13, 14, 23], на западном побережье Камчатки и шельфе юго-западной части о. Сахалин [20]. В 1985–1990 гг. А.А. Рязанцевым с соавторами, при методическом руководстве главного геолога ПГО “Дальнморгеология” Л.Б. Хершбера, был составлен тематический отчет по стратиграфии четвертичных отложений шельфа ДВ морей с учетом материалов [11, 12, 25], а также рабочей схемы и инструкции, утвержденной ВСЕГЕИ.

Геологическая съемка за указанный период, постоянно методически и технически совершенствуясь, из опытно-методической выросла в Государственную геологическую съемку шельфа масштаба 1:200 000 (ГСШ-200). В результате на шельфе Японского и Охотского морей было закартировано 7 районов (рис. 1). По ним накоплен обширный фактический

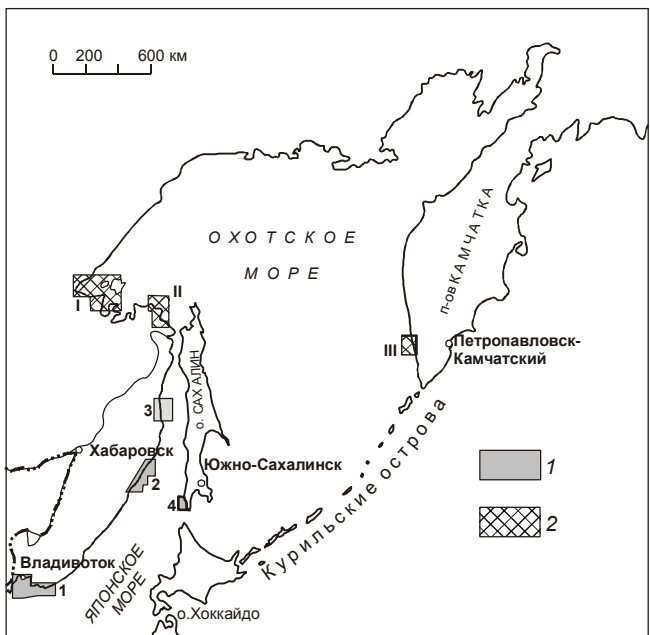


Рис. 1. Местоположение районов проведения геологической съемки масштаба 1:200 000 на шельфе дальневосточных морей.

1 – районы Японского моря (1 – Южное Приморье, 2 – юго-западная часть Татарского пролива, 3 – северо-западная часть Татарского пролива, 4 юго-западная часть о. Сахалин); 2 – районы Охотского моря (I – Пришантарский шельф, II – Сахалинский залив, III – Западная Камчатка).

материал, позволяющий составить по каждому району сводный разрез осадочного чехла и рабочую стратиграфическую схему четвертичных отложений.

В работе, основанной на перечисленных фондо-вых материалах [11–26], представлены результаты изучения геологических разрезов осадочного чехла шельфа, а также стратиграфические схемы четвертичных отложений по всем указанным районам, с учетом современных представлений о геологическом развитии шельфа Японского и Охотского морей в четвертичном периоде.

Данной статьей начинается публикация цикла работ по разработке стратиграфической схемы шельфовых областей дальневосточных морей.

РАЗВИТИЕ ПРЕДСТАВЛЕНИЙ О СТРАТИГРАФИИ ЧЕТВЕРТИЧНЫХ ОТЛОЖЕНИЙ ШЕЛЬФА ЯПОНСКОГО МОРЯ

Четвертичные отложения побережья Японского моря изучены сравнительно детально. В основу их стратиграфического расчленения был положен обще-принятый принцип выделения климатостратиграфических горизонтов, требующий применения палино-

логических исследований [1]. В результате была составлена унифицированная стратиграфическая схема четвертичных отложений Приморья, авторы которой посчитали возможным распространить ее и на приморский шельф [2]. Поэтому на начальной стадии геологической съемки шельфа Японского моря (1973–1980 гг.) геологи-съемщики пользовались указанной стратиграфической схемой, выделяя климатостратиграфические горизонты в разрезах осадочного чехла шельфа.

По мере накопления фактического материала становилось все более очевидным, что строение осадочного чехла отражает как чередование климатических эпох, так и ход развития трансгрессивно-регressiveных циклов. Однако несовпадение в некоторых случаях климатической и эвстатической ритмики требует детального анализа накопленного материала и расчленения осадочного чехла на ряд литологических толщ, которые соответствуют определенным этапам трансгрессивно-регressiveных циклов. Эти толщи хорошо отбиваются и прослеживаются по геофизическим данным. Одним из наиболее информативных методов является непрерывное сейсмоакустическое профилирование (НСП) с полосой фильтрации канала НЧ – 240/750 Гц и ВЧ – 600/1100 Гц (НСП +(НЧ – ВЧ)), позволяющие получить сведения по строению осадочного чехла, поверхности коренного фундамента, наличию современных морских и погребенных форм рельефа, в том числе и россыпелокализующих. Применение метода локации бокового обзора (ЛБО) дает возможность оценить площадное распространение отдельных геоморфологических элементов морского дна, литологические особенности современных осадков. Гидромагнитная съемка (ГМС) используется с целью получения данных по строению фундамента и площадей развития возможных источников россыпебразования. Совокупная информация этих методов, дополненная вертикальным сейсмическим профилированием (ВСП) и акустическим каротажем (АК) в скважинах, а также точечным сейсмоакустическим зондированием (ТСЗ), подкрепленная опробованием, в том числе и бурением скважин с плавучей буровой установкой (ПБУ), позволила уверенно решать задачи применительно к геологической съемке и поискам на шельфе. Выполненные на шельфе 150 тыс. км геофизического комплекса (НСП + (НЧ – ВЧ), ВСП, ТСЗ, ЛБО, ГМС) с бурением с ПБУ (100 тыс. пог. м) позволили (посредством сопряженного анализа) надежно выделять толщи и подтолщи в четвертичном чехле шельфа дальневосточных морей. Это и нашло отражение в новой стратиграфической схеме четвертичных от-

ложений шельфа Южного Приморья, скоррелированной с унифицированной стратиграфической схемой этого района [3–8]. Предложенный принцип литостратиграфического расчленения разрезов четвертичных отложений шельфа был в дальнейшем с успехом применен на всех площадях проведения геологической съемки шельфа масштаба 1:200 000, как в Японском море, так и в Охотском.

ПРИНЦИПЫ И МЕТОДИКА СТРАТИГРАФИЧЕСКОГО РАСЧЛЕНЕНИЯ ЧЕТВЕРТИЧНЫХ ОТЛОЖЕНИЙ ШЕЛЬФА

В настоящее время при картировании четвертичных отложений шельфа важным принципом их стратиграфического расчленения является литостратиграфический, позволяющий в составе изучаемых разрезов осадочного чехла шельфа выделять литологически обособленные толщи, соответствующие определенным трансгрессивно-регрессивным циклам [3–9].

Дальнейшее изучение выделенных толщ проводится методом комплексного сопряженного анализа, суть которого заключается в том, что изучаемые в поле опорные стратиграфические разрезы этих толщ разбиваются на определенные интервалы опробования, и из каждого интервала отбирается комплекс проб, всесторонне характеризующий опробованный интервал. В состав комплекса входят следующие виды проб: палинологические, диатомовые, микрофаунистические, литологические и гранулометрические, а также пробы на определение абсолютного возраста. Дополняется этот комплекс результатами непрерывного сейсмоакустического профилирования (НСП), позволяющего с высокой вероятностью коррелировать стратиграфические разрезы.

Литостратиграфический принцип позволяет расчленить четвертичный осадочный чехол шельфа на толщи, соответствующие определенным этапам трансгрессивно-регрессивной деятельности моря. Литологический состав выделенных толщ определяется результатами литологического и гранулометрического анализов. Диатомовый и микрофаунистический анализы дают возможность определить фациальные условия осадконакопления. НСП позволяет с высокой степенью достоверности увязать изучаемые разрезы между собой, а результаты палинологических исследований в комплексе с определениями абсолютного возраста являются основой для корреляции выделенных толщ с унифицированной региональной стратиграфической схемой и стратиграфическими схемами смежных регионов.

Ниже дана краткая характеристика сводных геологических разрезов, а также приведены стратиграфические схемы четвертичных отложений шельфа наиболее изученных районов Японского и Охотского морей.

СТРАТИГРАФИЯ ЧЕТВЕРТИЧНЫХ ОТЛОЖЕНИЙ ШЕЛЬФОВОЙ ОБЛАСТИ ЯПОНСКОГО МОРЯ

Шельф Южного Приморья

Шельф Южного Приморья, по сравнению с другими районами шельфовых зон Японского и Охотского морей, изучен наиболее детально. В строении его осадочного чехла (рис. 2) выделяются отложения всех звеньев четвертичной системы, от нижнего плейстоцена до голоцена включительно.

Стратиграфическая схема четвертичных отложений шельфа Южного Приморья (табл. 1) представляет собой серию литологически обособленных толщ, соответствующих определенным этапам трансгрессивно-регрессивной деятельности Японского моря [15–18, 21, 22, 24]. Эта схема обоснована результатами детальных палинологических, диатомовых и микрофаунистических исследований. Возрастные рубежи выделенных на этой схеме толщ заверены 160-ю определениями абсолютного возраста, наиболее важные из которых показаны на стратиграфической схеме. Эта рабочая стратиграфическая схема скоррелирована с унифицированной стратиграфической схемой четвертичных отложений континентальной части Приморья (табл. 1) и, в свою очередь, сама стала своеобразным эталоном, с которым коррелируются рабочие стратиграфические схемы остальных наиболее изученных районов Японского и Охотского морей.

Юго-западная часть шельфа Татарского пролива

Одной из основных особенностей юго-западной части Татарского пролива является то, что развитие осадконакопления в этом районе в четвертичное время происходило в условиях непрерывного неотектонического вздымаания блоков прибрежной зоны шельфа, ввиду чего эти блоки глубоко абрадированы и на них присутствуют только современные осадки (рис. 3). Полный разрез четвертичных отложений шельфа установлен в средней и внешней зонах шельфа, развивавшихся в режиме неотектонического опускания.

Стратиграфическая схема [19, 26] четвертичных отложений юго-западной части Татарского пролива (табл. 2) во многом повторяет стратиграфическую

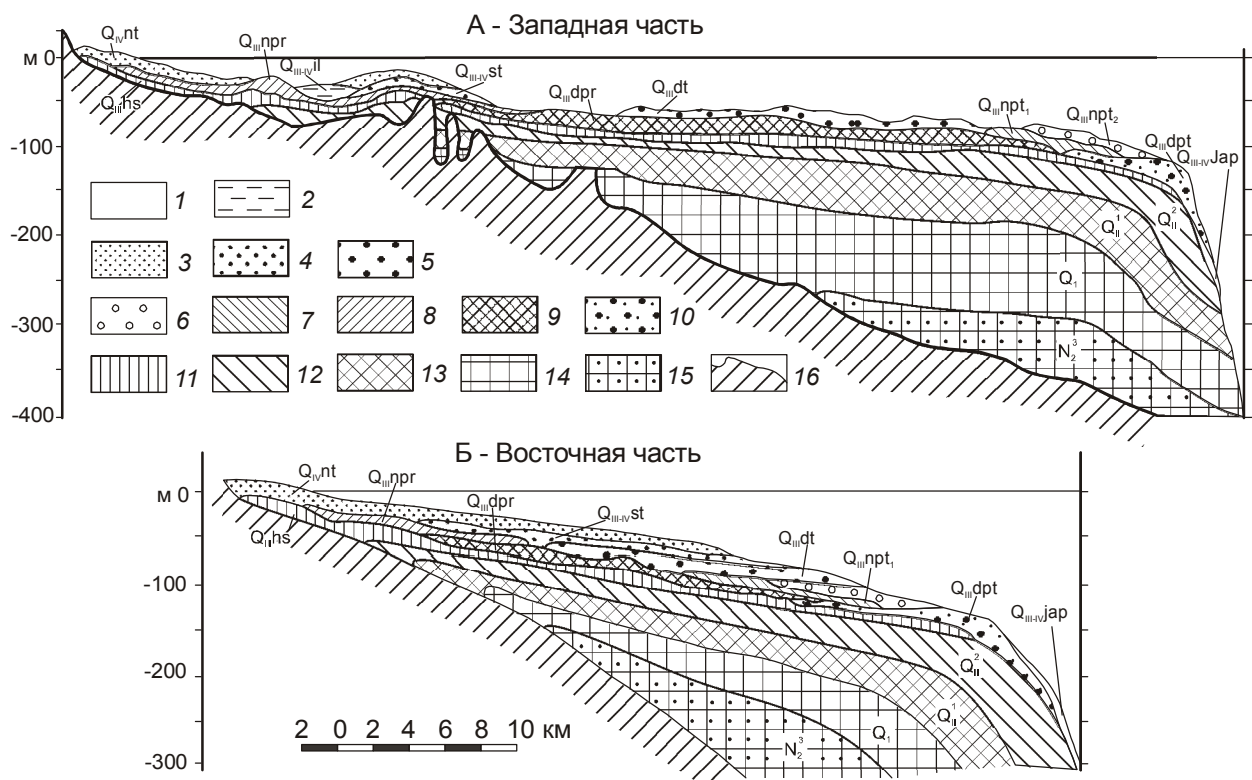


Рис. 2. Сейсмологические сводные разрезы шельфовой области Южного Приморья.

1 – голоцен и поздний плейстоцен нерасчлененные – япономорская толща ($Q_{III-IV} \text{ Jap}$); 2–5 – отложения последней трансгрессии Японского моря: 2 – илистая толща ($Q_{III-IV} \text{ il}$), 3 – новотихоокеанская толща ($Q_{IV} \text{ nt}$), 4 – среднетихоокеанская толща ($Q_{III-IV} \text{ st}$), 5 – древнетихоокеанская толща ($Q_{III} \text{ dt}$); 6–7 – отложения второй позднеплейстоценовой регрессии, новопетровская толща: 6 – верхненовопетровская подтолща ($Q_{III} \text{ npt}_2$), 7 – нижненовопетровская подтолща ($Q_{III} \text{ npt}_1$); 8–9 – отложения приморской трансгрессии: 8 – новоприморская толща ($Q_{III} \text{ prz}$), 9 – древнеприморская толща ($Q_{III} \text{ dpr}$), 10 – отложения первой позднеплейстоценовой регрессии, древнепетровская толща ($Q_{III} \text{ dpt}$); 11 – отложения хасанской трансгрессии, хасанская толща ($Q_{III} \text{ hs}$); 12–13 – средний плейстоцен: 12 – верхняя среднеплейстоценовая толща (Q_{II}^1); 13 – нижняя среднеплейстоценовая толща (Q_{II}^2); 14 – предположительно нижнеплейстоценовая толща ($Q_1 ?$); 15 – предположительно эоплейстоценовая толща ($N_2^3 ?$); 16 – коренные породы фундамента шельфа.

схему четвертичных отложений шельфа Южного Приморья, отличаясь от нее лишь некоторыми деталями. Так в ней нет аналогов илистой толщи, отложения последней трансгрессии расчленены не на три, а на две толщи.

Северо-западная часть шельфа Татарского пролива

Северо-западная часть шельфа Татарского пролива изучена [26] менее детально, чем юго-западная, что нашло отражение и в схематическом разрезе шельфа (рис. 4), и в стратиграфической схеме четвертичных отложений (табл. 3). Такое расчленение четвертичных отложений шельфа отражает, по-видимому, не столько объективные особенности строения разрезов, сколько степень их изученности.

Шельф юго-западной части о. Сахалин

Этот район наглядно отражет особенности геологического строения островного шельфа Японского моря [13]. Важный фактор, который необходимо отметить при рассмотрении его строения, – это четкая граница с угловым несогласием между четвертичным осадочным чехлом и складчатым неогеновым фундаментом (рис. 5), структуры которого продолжают воздыматься и в настоящее время, что находит прямое отражение в деформированности и четвертичного осадочного чехла.

Схема стратиграфического расчленения четвертичных отложений щельфа юго-западной части о. Сахалин (табл. 4) хорошо согласуется с аналогичными схемами шельфа Южного Приморья и Татар-

Таблица 1. Стратиграфическая схема четвертичных отложений шельфа Южного Приморья.

Система Звено	Шельф северо-западного сектора Японского моря							Побережье Приморья		
	Стратиграфи- ческая схема толщи, подтолщи	тыс. лет	Абсолютные датировки по С ¹⁴ ТЛ			трангрессия и регрессия	Стратиграфическая схема, по [2] горизонты, подгоризонты	Климат		
			возраст, лет	лаборатор- ный индекс	№ скв.					
ЧЕРВЕНЧЕРТИЧНОЕ (ПОЗДНИЙ ПЛЕЙСТОЦЕН) современное	Илистая толща	9.1	150±40 1000±60 1900±50 2600±60 3300±50 4000±60 4500±60 5100±100	Ки-1186 Ки-1781 Ки-1468 Ки-1809 Ки-1459 Ки-1555 Ки-1841 Ки-1782	2587 3404 159 3391 160 145 158 3403	Южнотихоокеанская толща	Верхнеголоценовый Среднеголоценовый Нижнеголоценовый	Переменный климат (субатлантический период) Умеренно-холодный климат с колебаниями (суб boreальный период) Климатический оптимум (атлантический период)		
			6100±80 7500±60 8500±70 8800±90	Ки-1586 Ки-1564 Ки-1569 Ки-1819	2430 2420 2332 3351					
			9200±150 9600±60 9700±120 10000±60	Ки-1628 Ки-1561 Ки-1695 Ки-1627	3769 106 3333 3773					
			10300±90 11000±120 11300±110 11400±130	Ки-1568 Ки-1804 Ки-1783 Ки-1779	3392 3863 3860 3860					
			11400±70 11500±110 11900±150 12500±155	Ки-1260 Ки-1776 Ки-1639 Ки-1631	3155 3883 3774 3772					
			12800±90 12900±190 13400±100 14400±90	Ки-1262 Ки-1743 Ки-1329 Ки-1803	3155 3714 3703 3793					
			14700±160 15050±110	Ки-1331 Ки-1346	3745 3858					
			17100±400 18100±100 18600±300	Ки-1335 Ки-1338 Ки-1339	3745 3681 3681					
			20100±900 21900±200	Ки-1328 Ки-1427	3688 3768М					
			24700±150 24800±230 25500±300 25900±300 27150±300	Ки-1337 Ки-1342 Ки-1632 Ки-1343 Ки-1638	3854 3854 3848 3854 3293					
ЧЕРНОРУЧЬИНСКИЙ	ПАРТИЗАНСКИЙ	24.0	29000±250 29800±400 30700±210 31400±800 32700±400 33200±1000 36800±700	ГГУ-325 ГИН-1342 Ки-1664 Ки-1769 Ки-1572 Ки-1144 Ки-1573	1005 1181 3781 2342 3293 1527 2342	тихоокеанская трангрессия	Южнотихоокеанская трангрессия	погодение (аллерод) похолодание (средний дриас) потепление (беллинг) похолодание, 2-я стадия (ранний дриас) интерстадиал похолодание 1-я стадия		
			37000±300 38200±200 40000±1500 41400±1000 42300±500 44000±1000	Ки-2016 Ки-2014 ГИН-1948 ГИН-1947 ГИН-1950 ГИН-1944	1282В 1273 69 1427 1282 1241					
			более 53000	Ки-2042	167					
			Хасанская толща	подтолщи верх. сред. ниж.	регрес.					
			70.0	57	118					
			более 49000	ГИН-1945	57					
			130000±33000	МГУ-ТЛ-П-4-80	118					
			180.0	МГУ-ТЛ-П-2-80	120					
			200.0							
			375.0							
НИЖНЕЧЕРТИЧНОЕ	Древнепетровская толща	50.0				ПРИМОРОСКАЯ трангрессия	ЛАЗОВСКИЙ	похолодание		
НАХОДКИНСКИЙ	Хасанская трангрессия	70.0				регрес.	ВЯЗЕМСКИЙ	похолодание		
УССУРИЙСКИЙ	Рудневский	130.0				регрес.	СУНГАЧСКИЙ	потепление		
ЧЕРВЕНЧЕРТИЧНОЕ	Нижнеплейстоценовая толща	730.0				транс.	ХАНКАЙСКИЙ	похолодание		
ЧЕРВЕНЧЕРТИЧНОЕ	Нижнеплейстоценовая толща	730.0				регрес.	РУДНЕВСКИЙ	потепление		
ЧЕРВЕНЧЕРТИЧНОЕ	Нижнеплейстоценовая толща	730.0				транс.	УССУРИЙСКИЙ	потепление		

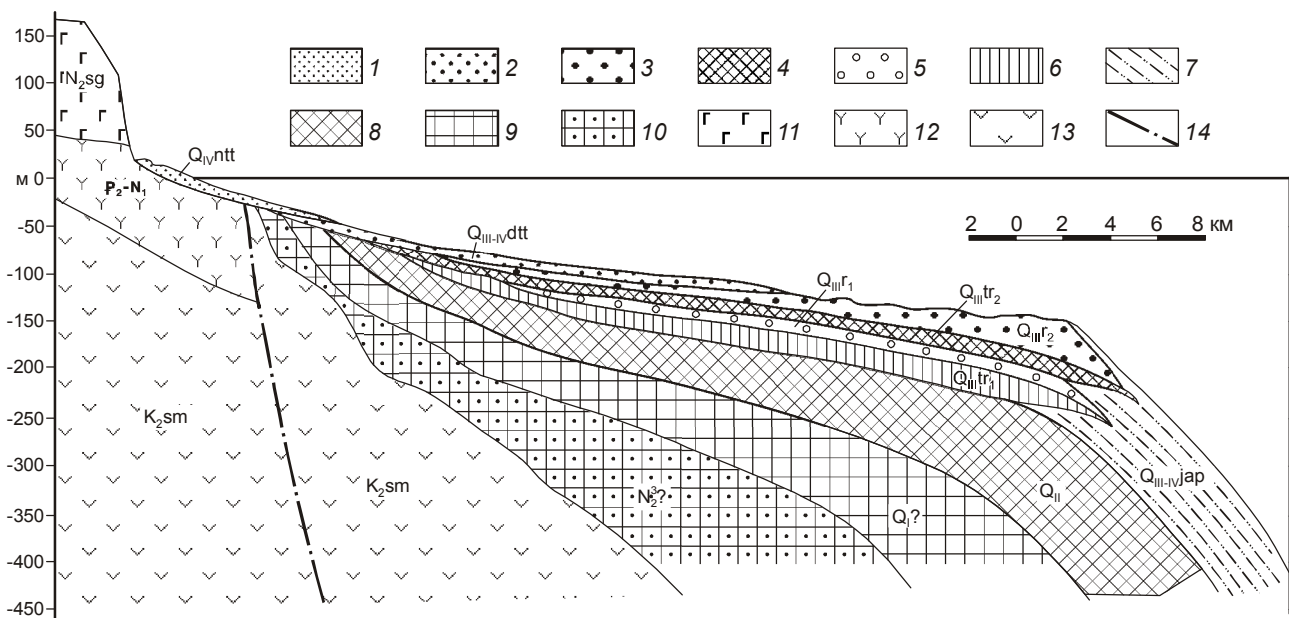


Рис. 3. Схематический сводный сейсмологический разрез осадочного чехла шельфа юго-западной части Татарского пролива.

1–2 – отложения последней трансгрессии: 1 – новотатарская толща ($Q_{IV\ ntt}$), 2 – древнетатарская толща ($Q_{III-IV\ dtt}$); 3 – отложения второй позднеплейстоценовой регрессии, 2-я регressive толща ($Q_{III\ r_2}$); 4 – отложения второй позднеплейстоценовой трансгрессии, 2-я трансгрессивная толща ($Q_{III\ tr_2}$); 5 – отложения первой позднеплейстоценовой регрессии, 1-я регressive толща ($Q_{III\ r_1}$); 6 – отложения первой позднеплейстоценовой трансгрессии, 1-я трансгрессивная толща ($Q_{III\ tr_1}$); 7 – япономорская толща ($Q_{III-IV\ jap}$); 8 – среднеплейстоценовая толща (Q_{II}); 9 – нижнеплейстоценовая толща ($Q_{I?}$); 10 – эоплейстоценовая толща ($N_2^3?$); 11 – совгаванская свита (N_2sg); 12 – эоцен-миоценовые вулканогенные образования нерасчлененные (P_2-N_1); 13 – самаргинская свита ($K_2 sm$); 14 – разломы.

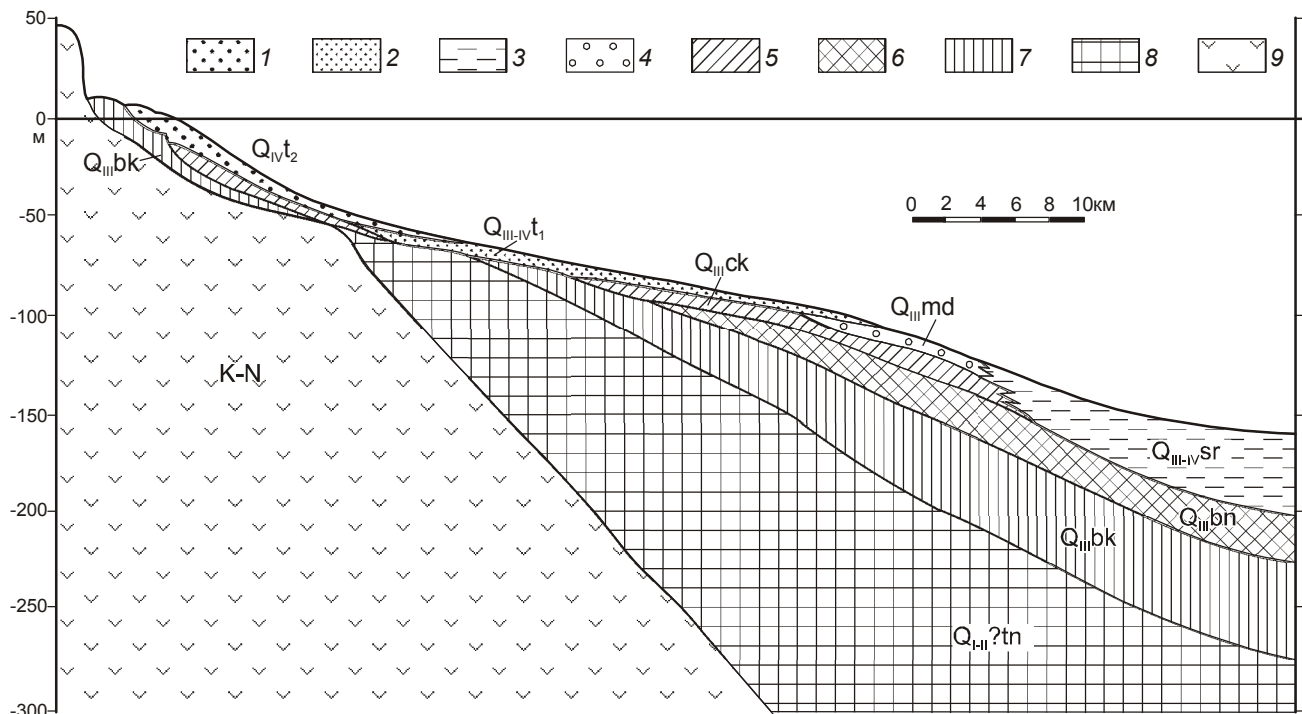


Рис. 4. Схематический сводный разрез шельфа северо-западной части Татарского пролива.

1–9 – толщи осадочного чехла: 1–2 – татарская (1 – верхняя подтолща $Q_{IV\ t_2}$, 2 – нижняя подтолща $Q_{III-IV\ t_1}$), 3 – сюркумская ($Q_{III-IV\ sr}$), 4 – меднинская ($Q_{III\ md}$), 5 – аукинская ($Q_{III\ ak}$), 6 – боэнская ($Q_{III\ bn}$), 7 – быкинская ($Q_{III\ bk}$), 8 – тунгусская ($Q_{II-III\ tn}$); 9 – литифицированные породы дочетвертичного коренного основания шельфа ($K-N$).

Таблица 3. Стратиграфическая схема четвертичных отложений шельфа северо-западной части Татарского пролива.

Ч Е Т В Е Р Т И Ч Н А Я		В е р х н е ч е т в е р т и ч н о е (поздний плейстоцен)		С и с т е м а	
нижнечетвертичное (ранний плейстоцен)	среднечетвертичное (средний плейстоцен)	казанцевский	зываринский	современное (голоцен)	З в е н о
				Стратиграфическая схема четвертичных отложений шельфа северо-западной части Татарского пролива	Стратиграфическая схема четвертичных отложений шельфа Южного Приморья
				толщи, подтолщи	толщи, подтолщи
				Надгоризонт, горизонт, подгоризонт	
				голоценовый	
				нижний среднегоризонт	
				верхний	
				Татарская толща	
				Верхняя толща	
				Нижняя толща	
				Меднинская толща	
				Ауканская толща	
				Боэнская толща	
				Быкинская толща	
				Тунгусская толща	
				С ю р к у м с к а я т о л щ а	
				С ю р к у м с к а я т о л щ а	
				Новотихоокеанская толща	
				Среднетихоокеанская толща	
				Древнетихоокеанская толща	
				Новоприморская толща	
				Древнеприморская толща	
				Древнепетровская толща	
				Верхненовопетровская толща	
				Нижненовопетровская толща	
				Древнепетровская толща	
				Древнепетровская толща	
				Верхняя подтолща	
				средняя подтолща	
				нижняя подтолща	
				Верхняя толща	
				Нижняя толща	
				Нижнеплейстоценовая толща	
					Тыс. лет назад
					8
					9.1
					10.2
					11.4
					16
					24
					28
					50
					70
					130
					200
					375
					730

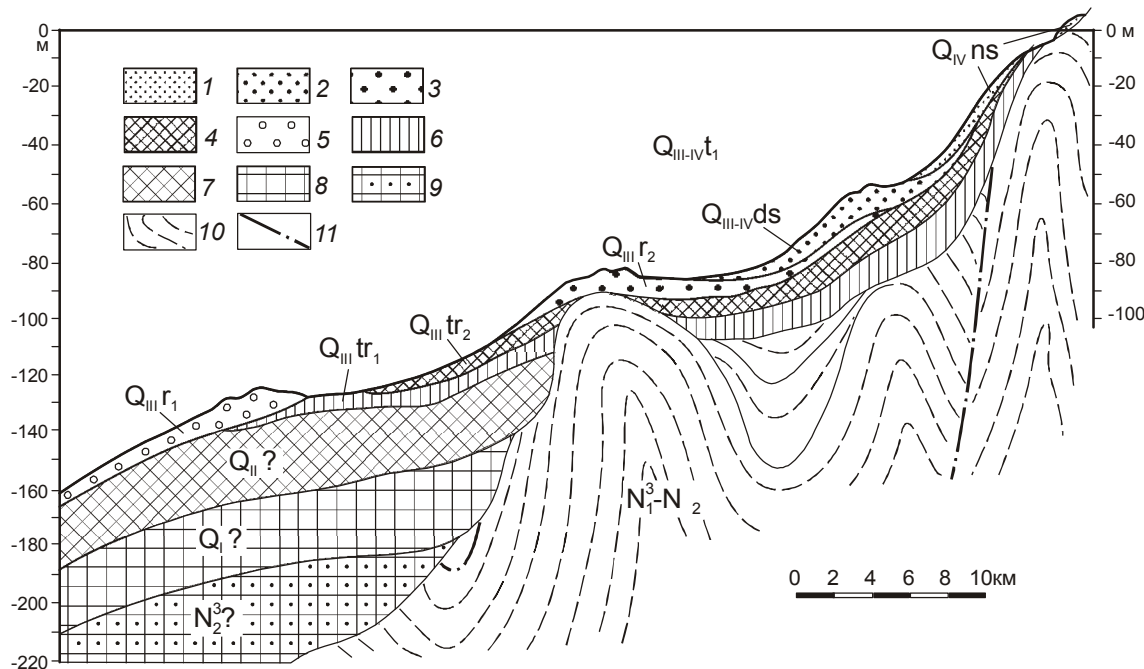


Рис. 5. Схематический сводный сейсмологический разрез четвертичных отложений шельфа юго-западной части о. Сахалин.

I–2 – отложения последней трансгрессии; 1 – новосахалинская толща ($Q_{IV\ ns}$), 2 – древнесахалинская толща ($Q_{III-IV\ ds}$); 3 – отложения второй позднеплейстоценовой регрессии, 2-я регрессивная толща ($Q_{III\ r_2}$); 4 – отложения второй позднеплейстоценовой трансгрессии, 2-я трансгрессивная толща ($Q_{III\ tr_2}$); 5 – отложения первой позднеплейстоценовой регрессии, 1-я регрессивная толща ($Q_{III\ r_1}$); 6 – отложения первой позднеплейстоценовой трансгрессии, 1-я трансгрессивная толща ($Q_{III\ tr_1}$); 7 – среднеплейстоценовая толща ($N_1^3-N_2$?); 8 – нижнеплейстоценовая толща ($N_2^3?$); 9 – эоплейстоценовая толща (N_1^3 ?); 10 – миоцен-плиоценовые отложения складчатого фундамента шельфа ($N_1^3-N_2$); 11 – разрывные нарушения.

кого пролива, что свидетельствует о единстве глобальных причин и условий геологического развития указанных районов в четвертичное время.

СТРАТИГРАФИЯ ЧЕТВЕРТИЧНЫХ ОТЛОЖЕНИЙ ШЕЛЬФОВОЙ ОБЛАСТИ ОХОТСКОГО МОРЯ

Шельф Сахалинского залива

К особенностям геологосъемочных работ на шельфе Сахалинского залива [14, 25] относятся небольшие глубины дна, ограниченные изобатой 100 м, и во время регрессий изучаемый район полностью выходил из-под уровня моря. На его поверхности начинали действовать процессы континентального осадконакопления, формировались аллювиальные лонгарийская и мофетская толщи, что отражено в сводном разрезе (рис. 6) и стратиграфической схеме (табл. 5). В остальном стратиграфическая схема четвертичных отложений Сахалинского залива хорошо сопоставляется со стратиграфической схемой четвертичных отложений шельфа Южного Приморья.

Пришантарский шельф

К этому району относятся акватории, окружающие Шантарские острова: Удская губа и Тугурский залив, глубина моря в которых не превышает 25–30 м, и лишь в северо-восточной части района она достигает 60 м. Поэтому в периоды регрессий море надолго покидало эту площадь, и на ней господствовали процессы эрозии, шло развитие речных долин и накопление аллювиальных отложений, заполняющих эти долины, что нашло отражение на схеме [14] строения кайнозойских отложений пришантарского шельфа (рис. 7) и в стратиграфической схеме верхнеплиоцен-четвертичных отложений (табл. 6). Здесь выделены дуганджинская, тугурская, аллювиально-озерная среднеплейстоценовая и аллювиально-озерная верхнеплиоцен-нижнеплейстоценовая толщи, заполняющие эрозионные врезы речных долин соответствующих возрастов. В остальном стратиграфическое расчленение четвертичных отложений Пришантарского шельфа во многом повторяет стратиграфическую схему четвертичных отложений западной

Таблица 4. Стратиграфическая схема четвертичных отложений шельфа юго-западной части о. Сахалин.

Ч Е Т В Е Р Т И Ч Н А Я		Система ЗВЕНО	Стратиграфическая схема четвертичных отложений шельфа юго-западной части острова Сахалин		Стратиграфическая схема четвертичных отложений шельфа Южного Приморья	Тыс. лет назад
нижнечетвертичное (ранний плейстоцен)	современное (голоцен)		толщи	толщи, подтолщи		
			Новосахалинская толща	тихоокеанская трангрессия	Новотихоокеанская толща	8
			Древнесахалинская толща		Илиистая толща	9.1
					Среднетихоокеанская толща	10.0
					Древнетихоокеанская толща	11.4
			2-я регрессивная поздне-плейстоценовая толща	регрес-сия	Новопетровская толща	16.0
					верхненовопетровская подтолща	24
					нижненовопетровская подтолща	28
			2-я трангрессивная позднеплейстоценовая толща	приморская трангрес-сия	Новопrimорская толща	37
					Древнепrimорская толща	50
			1-я регрессивная поздне-плейстоценовая толща	регрес-сия	Древнепетровская толща	70
			1-я трангрессивная позднеплейстоценовая толща	хасанская трангрес-сия	Хасанская толща	130
					верхняя подтолща	200
					средняя подтолща	375
					нижняя подтолща	
	среднечетвертичное (средний плейстоцен)		Среднеплейстоценовая толща	регрес-сия трангрессия регрес-сия трангрес-	Верхняя толща	
					Нижняя толща	
	нижнечетвертичное (ранний плейстоцен)		Нижнеплейстоценовая толща	регрес-сия трангрессия	Нижнеплейстоценовая толща	730

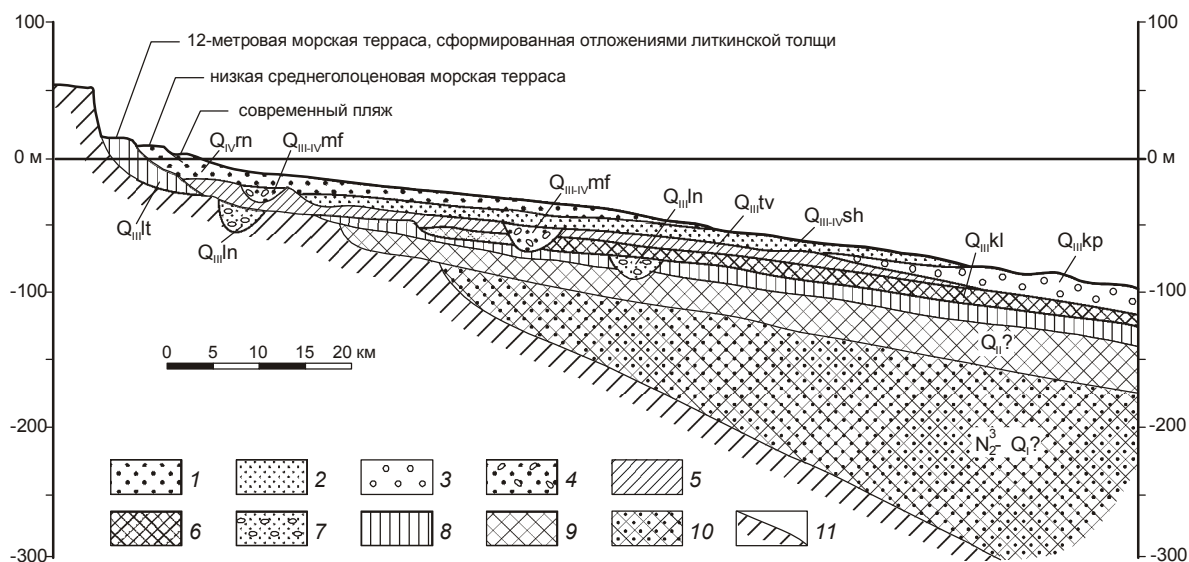


Рис. 6. Схематический сводный сейсмологический разрез верхнеплиоцен-четвертичных отложений западной части Сахалинского залива.

1–2 – морские отложения последней трансгрессии: 1 – рейнекская толща (Q_{IV} rn), 2 – сахалинская толща (Q_{III-IV} sh); 3–4 – отложения 2-й позднеплейстоценовой регрессии: 3 – куприяновская морская толща (Q_{III} kp), 4 – мофетская аллювиальная толща (Q_{III-IV} mf); 5–6 – отложения воронцовской трансгрессии: 5 – тывлинская толща (Q_{III} tv), 6 – кольская толща (Q_{III} kl); 7 – аллювиальные отложения эпохи 1-й позднеплейстоценовой регрессии: лонгарианская толща (Q_{III} ln); 8 – отложения казанцевской трансгрессии: литкинская толща (Q_{III} lt); 9 – среднеплейстоценовая толща (Q_{II} ?); 10 – верхнеплиоцен-нижнеплейстоценовая толща ($N_2^3 - Q_1$?); 11 – фундамент шельфа.

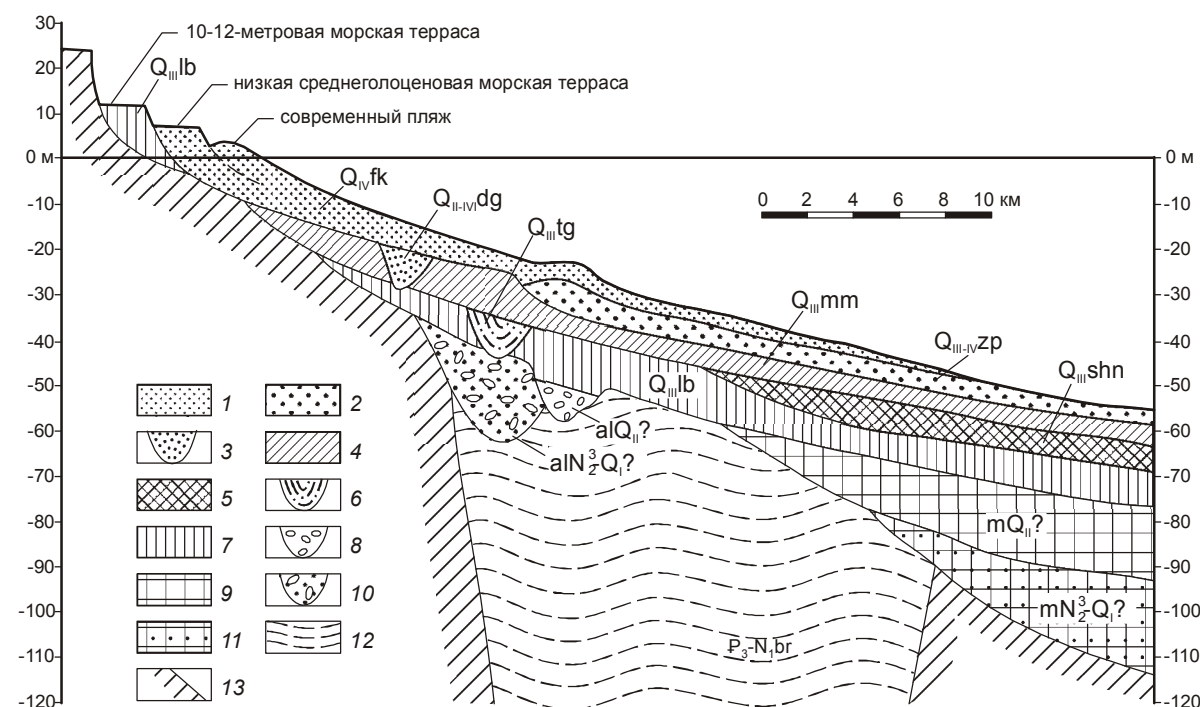


Рис. 7. Схематический сводный сейсмологический разрез кайнозойских отложений Пришантарского шельфа.

1–9 – четвертичные отложения: 1 – феклистовская толща (Q_{IV} fk), 2 – западно-приохотская толща (Q_{III-IV} zp), 3 – дуганджинская толща (Q_{III-IV} dg), 4 – мамгинская толща (Q_{III} mm), 5 – шантарская толща (Q_{III} shn), 6 – тугурская толща (Q_{III} tg), 7 – лебяжинская толща (Q_{III} lb), 8 – аллювиально-озерная среднеплейстоценовая толща (alQ_{II} ?), 9 – морская среднеплейстоценовая толща (mQ_{II} ?); 10–11 – верхнеплиоцен-нижнеплейстоценовые отложения нерасчлененные: 10 – аллювиально-озерная верхнеплиоцен-нижнеплейстоценовая толща ($alN_2^3 - Q_1$?), 11 – морская верхнеплиоцен-нижнеплейстоценовая толща ($mN_2^3 - Q_1$?); 12–13 – породы фундамента шельфа: 12 – олигоцен-миоценовые отложения нерасчлененные, биранджинская свита ($P_3 - N_1$ br), 13 – докайнозойские образования фундамента шельфа.

Таблица 5. Стратиграфическая схема четвертичных отложений западной части Сахалинского залива.

Ч Е Т В Е Р Т И Ч Н А Я		С и с т е м а			
Нижнечетв. (ранний плейстоцен)	среднечетв. (средний плейстоцен)	верхнечетвертичное (поздний плейстоцен)		современное (голоцен)	З в е н о
		зывянский надгоризонт		Надгоризонт, горизонт	Стратиграфическая схема четвертичных отложений Сахалинского залива (Охотское море)
		казан-цевский	ермако-каргинский	Мофетская толща	толщи
				Сахалинская толща	Рейнекская толща
				Куприяновская толща	Тихоокеанская трансгрессия
				Тывлинская толща	регрес-сия
				Кольская толща	1-я стадия
				Лонгариjsкая толща	2-я стадия
				Литкинская толща	Иллюстрированная толща
				Среднеплейстоценовая толща	Новотихоокеанская толща
				Верхнеплиоцен-нижнеплейстоценовая толща	Среднетихоокеанская толща
					Древнетихоокеанская толща
					Новопетровская подтол.
					нижненовопетровская подтол.
					верхненовопетровская подтол.
					Новоприморская толща
					Древнеприморская толща
					Древнепетровская толща
					Хасанская толща
					верхняя подтолща
					средняя подтолща
					нижняя подтолща
					Верхняя толща
					Нижняя толща
					Нижнеплейстоценовая толща
					Нынешнее время

Таблица 6. Стратиграфическая схема верхнеплиоцен-четвертичных отложений Пришантарского шельфа.

части Сахалинского залива, отличаясь от нее лишь некоторыми деталями.

Шельф Западной Камчатки

В строении осадочного чехла шельфа Западной Камчатки выделены [11] толщи флювиогляциальных отложений в отличие от охарактеризованных выше районов (рис. 8). К числу этих толщ относятся (табл. 7): 1 – среднеплейстоценовая флювиогляциальная толща; 2 – митогинская толща; 3 – хомутинская толща. Водно-ледниковый генезис этих толщ установлен на основании изучения их строения и состава.

Кихчикская толща морских осадков каргинского интерстадиала, связанных с развитием воронцовской трансгрессии, делится на три подтолщи лагунно-болотными отложениями большерецкой и пестрой толщ, формирование которых связано с периодами кратковременных регрессий в ходе общего развития трансгрессий.

Остальные толщи приведенной стратиграфической схемы (табл. 7) сложены морскими осадками

и вполне однозначно коррелируются с соответствующими толщами смежных регионов.

ЗАКЛЮЧЕНИЕ

В процессе проведения геологической съемки масштаба 1:200 000 в шельфовых областях дальневосточных морей выявлен ряд месторождений твердых полезных ископаемых: в илистой толще – титаномагнетитовые россыпи в районе Тюмень-Улы и бух. Новгородской, морские россыпи золота в бух. Рудневка и районе о. Аскольд; в древнепетровской толще – континентальные россыпи золота затопленной и погребенной гидросети; в хомутинской и митогинской толщах – россыпи золота на Западной Камчатке; в феклистовой толще – россыпепроявления платины Пришантарья и др. Месторождения были изучены поисковыми работами разной степени детальности и разведкой.

Это позволило провести группировку россыпей и россыпных проявлений золота и других полезных компонентов для целей геологоразведочных работ [8, 10]. Разработанная методология съе-

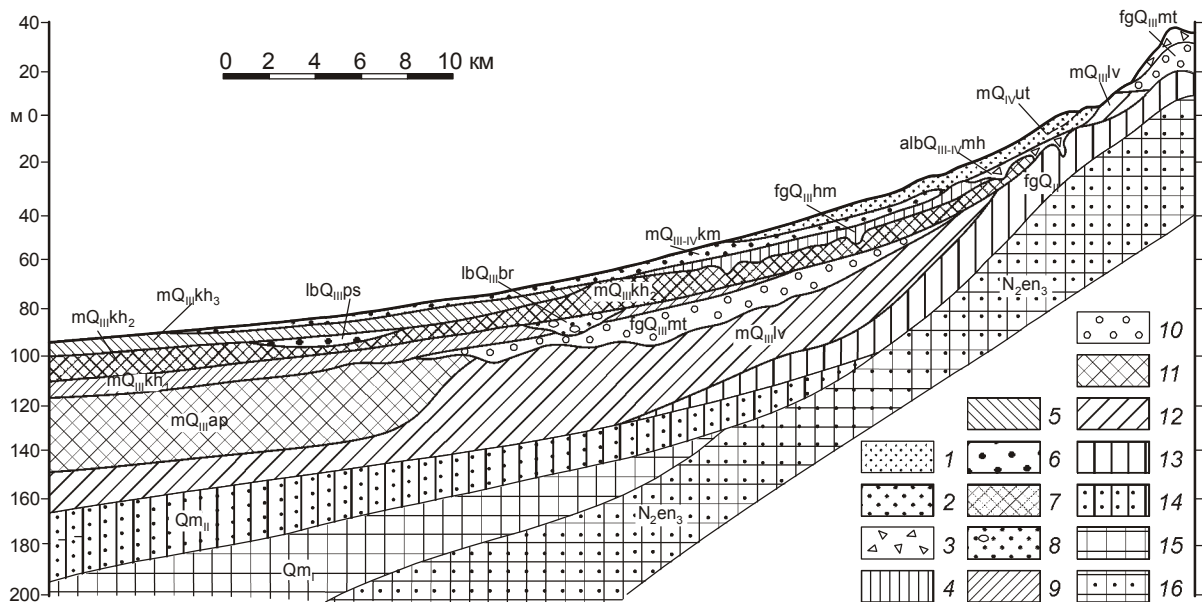


Рис. 8. Схематический сводный сейсмологический разрез верхнеплиоцен-четвертичных отложений Западной Камчатки.

1–2 – морские отложения последней трансгрессии: 1 – уткинская толща (mQ_{IV} ut), 2 – камчатская толща (mQ_{III-IV} km); 3 – континентальные отложения: мухинская толща ($albQ_{III-IV}$ mh); 4–5 – отложения 2-й позднеплейстоценовой регрессии: 4 – хомутинская толща (fgQ_{III} hm), 5 – верхнекихчикская подтолща (mQ_{III} kh₃); 6 – пестрая толща (IbQ_{III} ps); 7–9 – отложения воронцовской трансгрессии: 7 – среднекихчикская подтолща (mQ_{III} kh₂), 8 – большерецкая толща (IbQ_{III} br), 9 – нижнекихчикская подтолща (mQ_{III} kh₁); 10 – отложения эпохи 1-й позднеплейстоценовой регрессии: митогинская толща (fgQ_{III} mt); 11–12 – отложения казанцевской трансгрессии: 11 – апоньская толща (mQ_{III} ap), 12 – левашовская толща (mQ_{III} lv); 13 – флювиогляциальная среднеплейстоценовая толща (fgQ_{II}); 14 – морская среднеплейстоценовая толща (mQ_{II}); 15 – нижнеплейстоценовая толща (mQ_I); 16 – верхний плиоцен, верхняя подсвита энэмтемской свиты ($N_2 en_3$).

Таблица 7. Стратиграфическая схема четвертичных отложений Западной Камчатки.

мочных работ на шельфе позволила провести инженерные работы на шельфе о. Сахалин с целью постановки буровых платформ на ряде структур для бурения на нефть и газ.

Работа выполнена при финансовой поддержке Программы фундаментальных исследований Президиума ДВО РАН (грант 06-1-П17-079) и Федерального агентства по науке и инновациям (договор № 634/2007-ДВГИ).

СПИСОК ЛИТЕРАТУРЫ

1. Короткий А.М., Караулова Л.П. Новые данные по стратиграфии четвертичных отложений Приморья // Вопросы геоморфологии и четвертичной геологии юга Дальнего Востока. Владивосток: ДВНЦ АН СССР, 1975. С. 79–110.
2. Короткий А.М., Караулова Л.П., Троицкая Т.С. Четвертичные отложения Приморья // Стратиграфия и палеогеография. Новосибирск: Наука, 1980. 234 с.
3. Рязанцев А.А., Мечетин А.В., Хершберг Л.Б., Караулова Л.П. Стратиграфия четвертичных отложений шельфа северо-западного сектора Японского моря // Тезисы докладов на XI конгрессе ИНКВА. Т. II. М.: ВИНИТИ, 1982. С. 250.
4. Тихомиров С.В., Хершберг Л.Б., Царько Н.И. О значении исследований голоценов и особенности осадочных отношений этого времени на юго-западе Приморья // Изв. вузов. Геология и разведка. 1976. № 8. С. 3–10.
5. Хершберг Л.Б. О последней морской трансгрессии в юго-восточном Приморье // Изв. вузов. Геология и разведка. 1971. № 5. С. 17–22.
6. Хершберг Л.Б., Рязанцев А.А., Мечетин А.В. Древние береговые линии последней послеледниковой трансгрессии и их картирование на шельфе Японского и Охотского морей // Тезисы докладов на XI конгрессе ИНКВА. Т. III. М.: ВИНИТИ, 1982. С. 323.
7. Хершберг Л.Б., Рязанцев А.А., Гуськов Л.Г. и др. Древние береговые линии послеледниковой трансгрессии на шельфе Японского и Охотского морей // Колебания уровня морей и океанов за 15000 лет. М.: Наука, 1982. С. 196–206.
8. Хершберг Л.Б., Рязанцев А.А., Чудаев О.В. и др. Шельфовая область Японского моря // Геология и минералогия. СПб.: ВНИИОкеангеология, 2006. 137 с.
9. Kershberg L.B., Ryazantsev A.A., Gus'kov L.G. et al., Submerged shorelines on continental shelves of the Sea of Japan and Sea of Okhotsk, USSR // J. of Coastal Res. 1986. V. 2. N. 1. P. 61–68.
10. Kershberg L. B., Mikhailik P. E., Chudaev O. V. et al. The grouping of shelf sedimentary deposits of the Russian Far Eastern marginal seas for prospecting purposes: ferrous metal minerals, gold, non-metalliferous minerals // Mineral deposits of continental shelves and IGCP – 464 Continental shelves during the last glacial cycle – fifth annual conference. St. Petersburg: VNIIOkeangeologia, 2005. P. 29–30.
11. Большеворский В.А., Камионко М.В. Отчет Камчатской партии о поисково-оценочных работах на участке Уткинском (Западное побережье Камчатки) за 1984–1985 гг. Приморский край, г. Партизанск. Фонды ТМЭ ОАО “Дальморгеология”. 1986.
12. Гаврющенко О.Т., Шмулев В.Г., Гаврилов О.В. Отчет о геолого-поисковых работах на прибрежно-морские россыпи золота Северо-Западного Приохотья за 1972–1974 гг. Приморский край, г. Партизанск. Фонды ТМЭ ОАО “Дальморгеология”. 1974.
13. Гуськов Л.Г. Геологическое строение и инженерно-геологические условия шельфа юго-западного Сахалина от широты г. Невельска до мыса Крильон / Отчет Шельфовой партии за 1978–1979 гг. Приморский край, г. Партизанск. Фонды ТМЭ ОАО “Дальморгеология”. 1979.
14. Комионко М.В., Яшкина Н.Г. Отчет Морской ГРЭ за 1987 г. по договору с НИИ “Гидропроект” имени С.Я. Жука Министерства энергетики и электрификации СССР по Тугурскому заливу и Пришантарью. Приморский край, г. Партизанск. Фонды ТМЭ ОАО “Дальморгеология”. 1987.
15. Рязанцев А.А. Отчет Шельфовой партии за 1973–1975 гг. об опытно-производственной геологической съемке м-ба 1:200 000 шельфа и побережья Японского моря от п-ова Дунай до бухты Успения в пределах листов К-53 - VII, VIII, XIII, XIV. Приморский край, г. Партизанск. Фонды ТМЭ ОАО “Дальморгеология”. 1976.
16. Рязанцев А.А. Геологическое строение и полезные ископаемые шельфа и побережья Японского моря в пределах залива Петра Великого от п-ова Дунай до бух. Нарва / Отчет Шельфовой партии за 1976–1978 гг. Приморский край, г. Партизанск. Фонды ТМЭ ОАО “Дальморгеология”. 1978.
17. Рязанцев А.А. Стратиграфия четвертичных отложений шельфа Южного Приморья / Отчет Шельфовой партии. Приморский край, г. Партизанск. 1981.
18. Рязанцев А.А. Отчет Шельфовой партии об опытно-производственной геологической съемке м-ба 1:200 000 шельфа Охотского моря в пределах листов N-54 - XIV, XV, XXI за 1981–1984 гг. Приморский край, г. Партизанск. Фонды ТМЭ ОАО “Дальморгеология”. 1984.
19. Рязанцев А.А. Определение стратиграфического положения и морфогенетическая типизация россыпей шельфа Японского моря / Отчет Шельфовой партии за 1983–1985 гг. // Приморский край, г. Партизанск. Фонды ТМЭ ОАО “Дальморгеология”. 1985.
20. Рязанцев А.А. Геологическое строение и полезные ископаемые шельфа Западной Камчатки от устья р. Большой до устья р. Мысовой / Отчет Шельфовой партии за 1984–1986 гг. Приморский край, г. Партизанск. Фонды ТМЭ ОАО “Дальморгеология”. 1987.
21. Сивопляс А.П. Геолого-поисковые работы Приморской партии на прибрежно-морские россыпи золота в Южном Приморье за 1971–1973 гг. Приморский край, г. Партизанск. Фонды ТМЭ ОАО “Дальморгеология”. 1973.
22. Сивопляс А.П., Дуглас В.К. Отчет о поисковых геолого-геофизических работах по оценке прибрежно-морских россыпей кассiterита Юго-Восточного Приморья от мыса Поворотного до бухты Евстафия, проведенных в 1971–1973 гг. Приморский край, г. Партизанск. Фонды ТМЭ ОАО “Дальморгеология”. 1973.
23. Туркин Н.Е., Ветошкевич А.Д. Отчет по результатам региональных геофизических и поисковых работ на участке “Пришантарье” за 1986–1988 гг. Приморский край, г. Партизанск. Фонды ТМЭ ОАО “Дальморгеология”. 1988.

24. Хершберг Л.Б. Отчет о поисково-рекогносцировочной оценке прибрежно-морских россыпей золота, кассiterита и редкоземельных минералов в Южном Приморье за 1970-1971 гг. Приморский край, г. Партизанск. Фонды ТМЭ ОАО “Дальморгеология”. 1971.
25. Шпеталенко Н.А. Опытно-методические работы по изучению геолого-геофизическими методами строения и металлоносности рыхлых отложений шельфа Японского и Охотского морей на участках, перспективных на россыпи золота, олова и др. металлов за 1971-1973 гг. Южно-Сахалинск. Фонды ТОЭ ВНИИМОРГЕО. 1973.
26. Шестера Ю.П., Прокудин В.П., Аленичев А.В. и др. Отчет Шельфовой партии за 1986-1990 гг. об опытно-производственной съемке м-ба 1:200 000 от мыса Пея до мыса Крестовоздвиженский Приморский край, г. Партизанск. Фонды ТМЭ ОАО “Дальморгеология”. 1990.

Рекомендована к печати Л.И. Попеко

L.B. Khershberg, A.A. Ryazantsev, Ye.V. Mikhailik, O.V. Chudaev

Development of stratigraphic base for 1:200 000-scale geologic survey of shelf areas of the Russian Far East seas

For the first time the geological survey expedition of the Primorye Territorial Geologic Administration has mapped 7 regions (4 in the Sea of Japan, and 3 in the Sea of Okhotsk). Extensive actual material has been accumulated on these regions, which made it possible to construct reference sections of the geologic structure of sedimentary cover, and also to develop working stratigraphic charts of Quaternary deposits. The mapping of shelf regions is based on the lithostratigraphic principle of division of sections of Quaternary deposits, which makes it possible to distinguish in the sedimentary cover lithologically isolated units corresponding to certain stages of transgressive-regressive activity of the sea and stages of placer formation.

Key words: geologic survey, shelf, Quaternary deposits, Sea of Japan, Sea of Okhotsk.